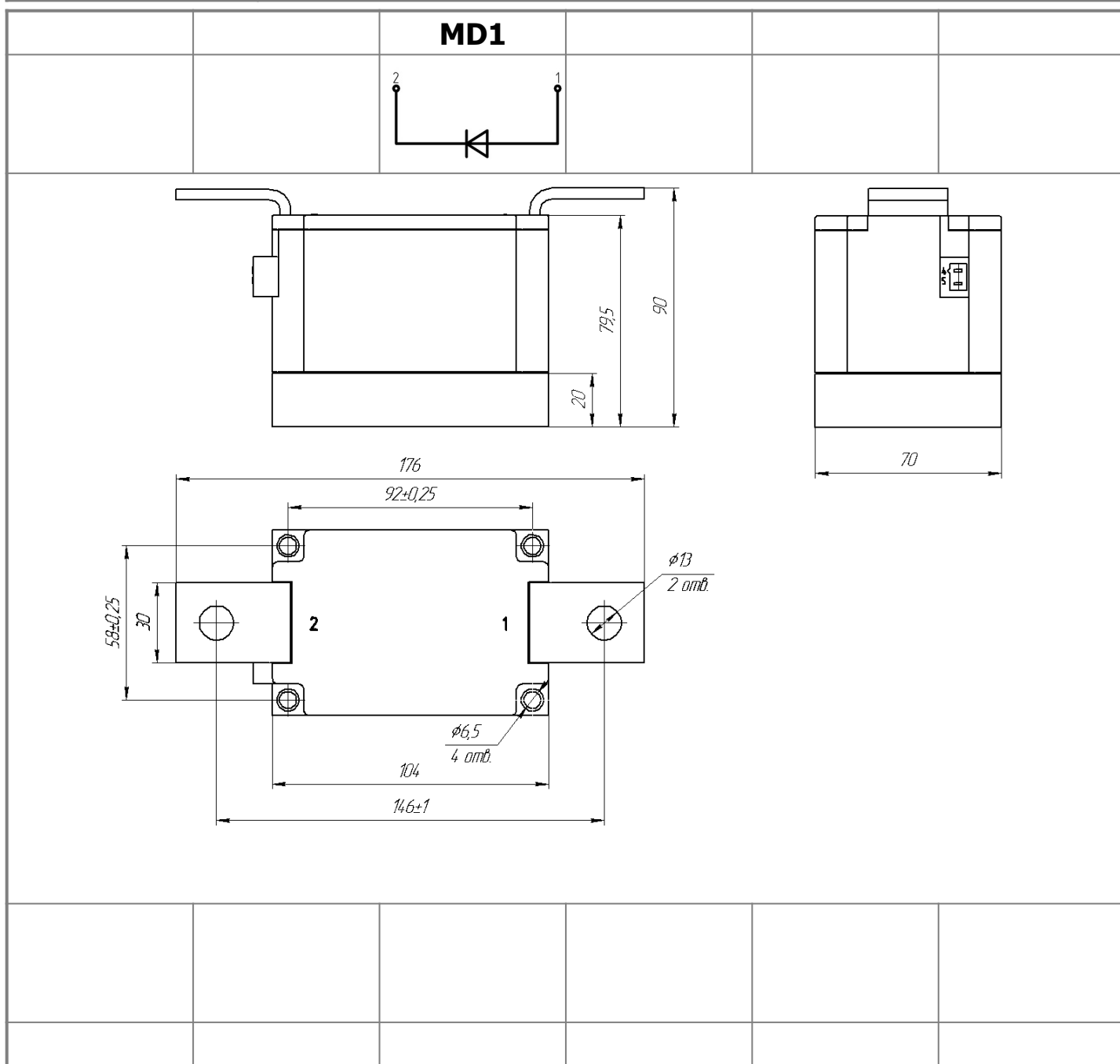




Изолированное основание
Корпус промышленного стандарта
Упрощенная механическая конструкция,
быстрая сборка
Прижимная конструкция

Однопозиционный Диодный Модуль МД1-1250-28-Е

Средний прямой ток			I_{FAV}	1250 A	
Повторяющееся импульсное обратное напряжение			U_{RRM}	2000...2800 В	
U_{RRM} , В	2000	2200	2400	2600	2800
Класс по напряжению	20	22	24	26	28
T_j , °C	-40...+160				



Все размеры в миллиметрах (дюймах)


ПРЕДЕЛЬНО ДОПУСТИМЫЕ ЗНАЧЕНИЯ ПАРАМЕТРОВ

Обозначение и наименование параметра		Ед. изм.	Значение	Условия измерения	
Параметры в проводящем состоянии					
I_{FAV}	Максимально допустимый средний прямой ток	A	1250 1133	$T_c=91\text{ }^\circ\text{C}$; $T_c=100\text{ }^\circ\text{C}$; 180 эл. град. синус; 50 Гц	
I_{FRMS}	Действующий прямой ток	A	1962	$T_c=91\text{ }^\circ\text{C}$; 180 эл. град. синус; 50 Гц	
I_{FSM}	Ударный ток	кА	40.0 48.0	$T_j=T_{j\max}$ $T_j=25\text{ }^\circ\text{C}$	180 эл. град. синус; $t_p=10\text{ мс}$; единичный импульс; $U_R=0\text{ В}$;
			42.0 50.0	$T_j=T_{j\max}$ $T_j=25\text{ }^\circ\text{C}$	180 эл. град. синус; $t_p=8.3\text{ мс}$; единичный импульс; $U_R=0\text{ В}$;
I^2t	Защитный показатель	$A^2c\cdot 10^3$	8000 11500	$T_j=T_{j\max}$ $T_j=25\text{ }^\circ\text{C}$	180 эл. град. синус; $t_p=10\text{ мс}$; единичный импульс; $U_R=0\text{ В}$;
			7300 10300	$T_j=T_{j\max}$ $T_j=25\text{ }^\circ\text{C}$	180 эл. град. синус; $t_p=8.3\text{ мс}$; единичный импульс; $U_R=0\text{ В}$;
Блокирующие параметры					
U_{RRM}	Повторяющееся импульсное обратное напряжение	B	2000...2800	$T_{j\min} < T_j < T_{j\max}$; 180 эл. град. синус; 50 Гц	
U_{RSM}	Неповторяющееся импульсное обратное напряжение	B	2100...2900	$T_{j\min} < T_j < T_{j\max}$; 180 эл. град. синус; единичный импульс	
U_R	Постоянное обратное напряжение	B	$0.6 \cdot V_{RRM}$	$T_j = T_{j\max}$;	
Тепловые параметры					
T_{stg}	Температура хранения	$^\circ\text{C}$	-40...+50		
T_j	Температура р-п перехода	$^\circ\text{C}$	-40...+160		
$T_{c\text{ op}}$	Рабочая температура корпуса	$^\circ\text{C}$	-40...+125		
Механические параметры					
a	Ускорение	м/с^2	50		

ХАРАКТЕРИСТИКИ

Обозначение и наименование характеристики		Ед. изм.	Значение	Условия измерения	
Характеристики в проводящем состоянии					
U_{FM}	Импульсное прямое напряжение, макс	B	1.38	$T_j=25\text{ }^\circ\text{C}$; $I_{FM}=3140\text{ A}$	
$U_{F(TO)}$	Пороговое напряжение, макс	B	0.803	$T_j=T_{j\max}$;	
r_T	Динамическое сопротивление, макс	МОм	0.187	$0.5 \pi I_{FAV} < I_T < 1.5 \pi I_{FAV}$	
Блокирующие характеристики					
I_{RRM}	Повторяющийся импульсный обратный ток, макс	мА	70 4.00	$T_j=T_{j\max}$; $T_j=25\text{ }^\circ\text{C}$	$U_R=U_{RRM}$
Динамические характеристики					
Q_r	Заряд восстановления, макс	мкКл	1450	$T_j=T_{j\max}$; $I_{FM}=I_{FAV}$; $di_{FM}/dt=-10\text{ A}/\mu\text{с}$; $U_R=100\text{ В}$	
t_{rr}	Время обратного восстановления, макс	мкс	19		
I_{rr}	Обратный ток восстановления, макс	A	152		
Тепловые характеристики					
R_{thjc}	Тепловое сопротивление р-п переход-корпус, макс			180 эл. град. синус; 50 Гц	
	на модуль	$^\circ\text{C}/\text{Вт}$	0.0400		
R_{thch}	Тепловое сопротивление корпус-охладитель, макс				
	на модуль	$^\circ\text{C}/\text{Вт}$	0.0100		

Характеристики изоляции					
U _{ISOL}	Электрическая прочность изоляции	кВ	3.00	синус; 50 Гц; действующее значение	t=60 с
			3.60		t=1 с
Механические характеристики					
M ₁	Момент затяжки основания (M5) ¹⁾	Нм	6.00	Допуск ± 15%	
M ₂	Момент затяжки выводов (M8) ¹⁾	Нм	18.00	Допуск ± 15%	
m	Масса, макс	г	2250		

МАРКИРОВКА		ПРИМЕЧАНИЕ																					
<table border="1"> <tr> <td>МД</td> <td>1</td> <td>-</td> <td>1250</td> <td>-</td> <td>28</td> <td>-</td> <td>E</td> <td>-</td> <td>У2</td> </tr> <tr> <td>1</td> <td>2</td> <td></td> <td>3</td> <td></td> <td>4</td> <td></td> <td>5</td> <td></td> <td>6</td> </tr> </table> <p>1. МД – Диодный Модуль 2. Схема включения 3. Средний прямой ток, А 4. Класс по напряжению 5. Тип корпуса (М.х) 6. Климатическое исполнение по ГОСТ 15150: У2</p>		МД	1	-	1250	-	28	-	E	-	У2	1	2		3		4		5		6	¹⁾ Резьба должна быть смазана	
МД	1	-	1250	-	28	-	E	-	У2														
1	2		3		4		5		6														
		Сертифицирован UL, файл № E255404																					

Содержащаяся здесь информация является конфиденциальной и находится под защитой авторских прав. В интересах улучшения качества продукции, АО «Протон-Электротекс» оставляет за собой право изменять информационные листы без уведомления.

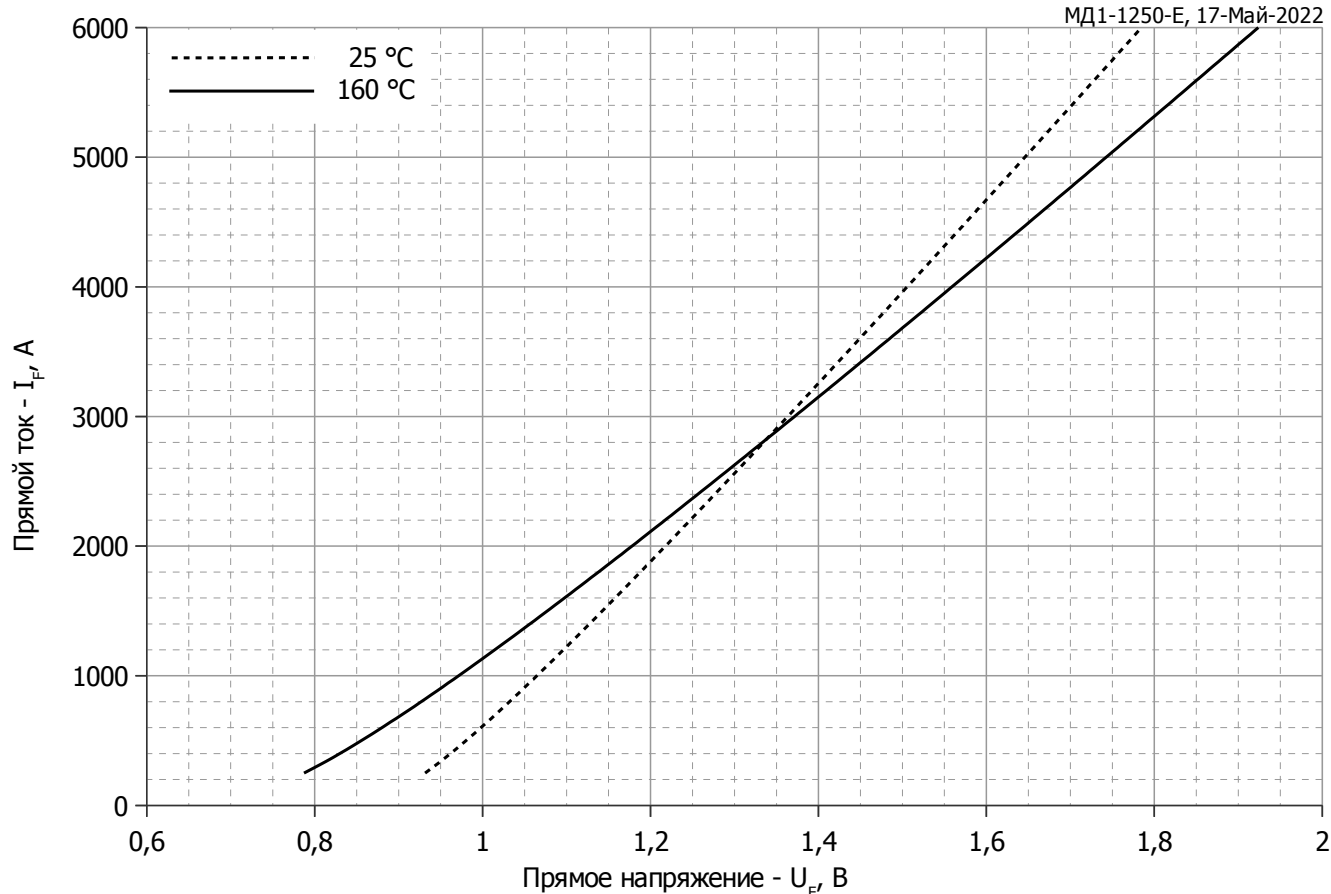


Рис. 1 – Предельная вольт – амперная характеристика

Аналитическая функция предельной вольт — амперной характеристики:

$$V_F = A + B \cdot i_F + C \cdot \ln(i_F + 1) + D \cdot \sqrt{i_F}$$

	Коэффициенты для графика	
	$T_j = 25^\circ\text{C}$	$T_j = T_{j\text{max}}$
A	0.81011790	0.62566890
B	0.00012818	0.00015912
C	0.01261474	0.01380854
D	0.00123635	0.00288304

Модель предельной вольт – амперной характеристики (см. Рис. 1).

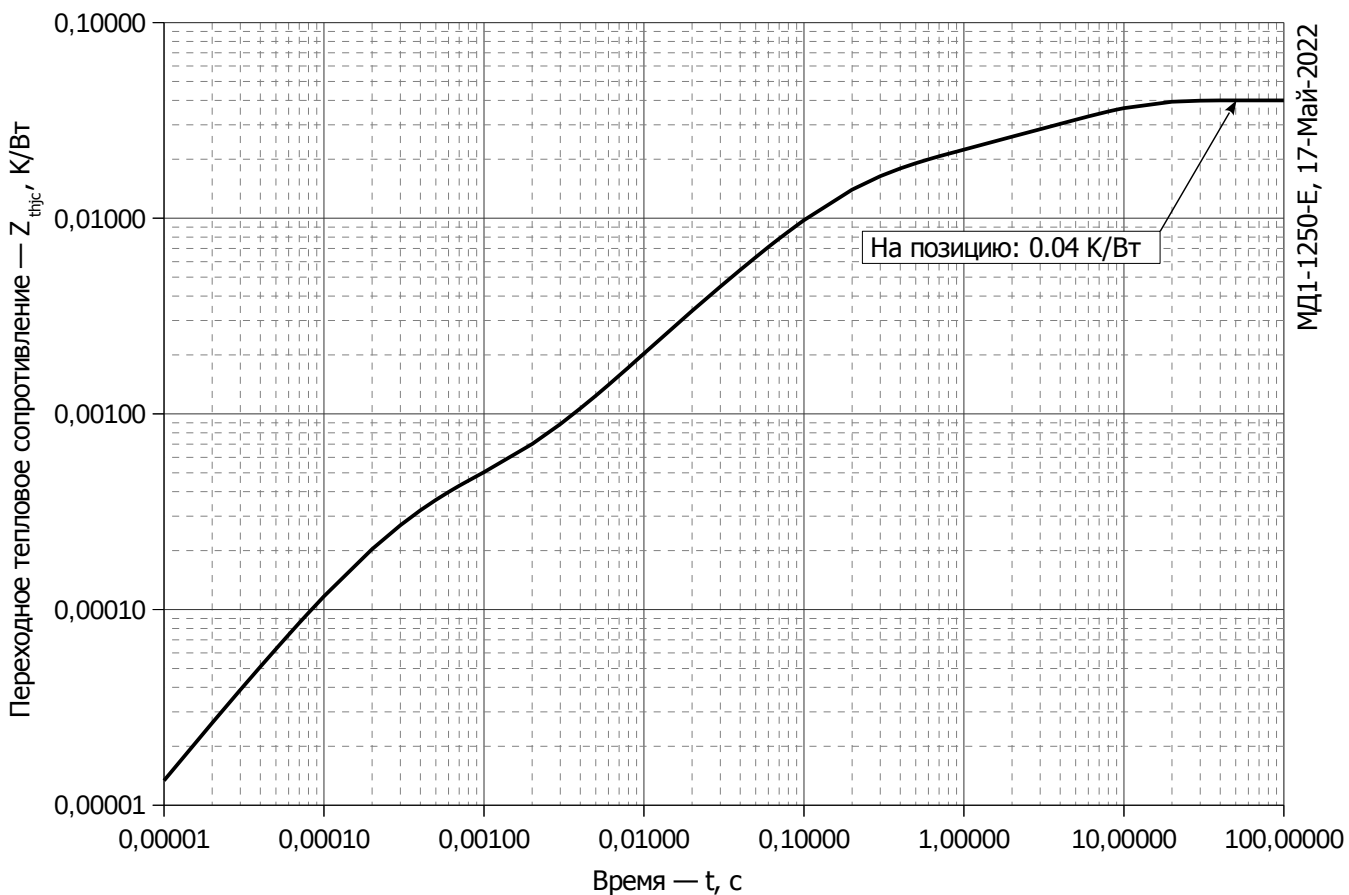


Рис. 2 – Переходное тепловое сопротивление

Аналитическая зависимость переходного теплового сопротивления переход — корпус:

$$Z_{thjc} = \sum_{i=1}^n R_i \left(1 - e^{-\frac{t}{\tau_i}} \right)$$

Где $i = 1$ to n , n – число суммирующихся элементов.

t = продолжительность импульсного нагрева в секундах.

Z_{thjc} = Тепловое сопротивление за время t .

R_i, τ_i = расчетные коэффициенты, приведенные в таблице.

Постоянный ток, двустороннее охлаждение

i	1	2	3	4	5	6
$R_i, K/W$	0.0189958	0.005931	0.009502	0.004252	0.001006	0.0003132
t_i, s	5.887	0.7389	0.1616	0.08215	0.01267	0.0002712

Модель переходного теплового сопротивления переход - корпус (см. Рис. 2)

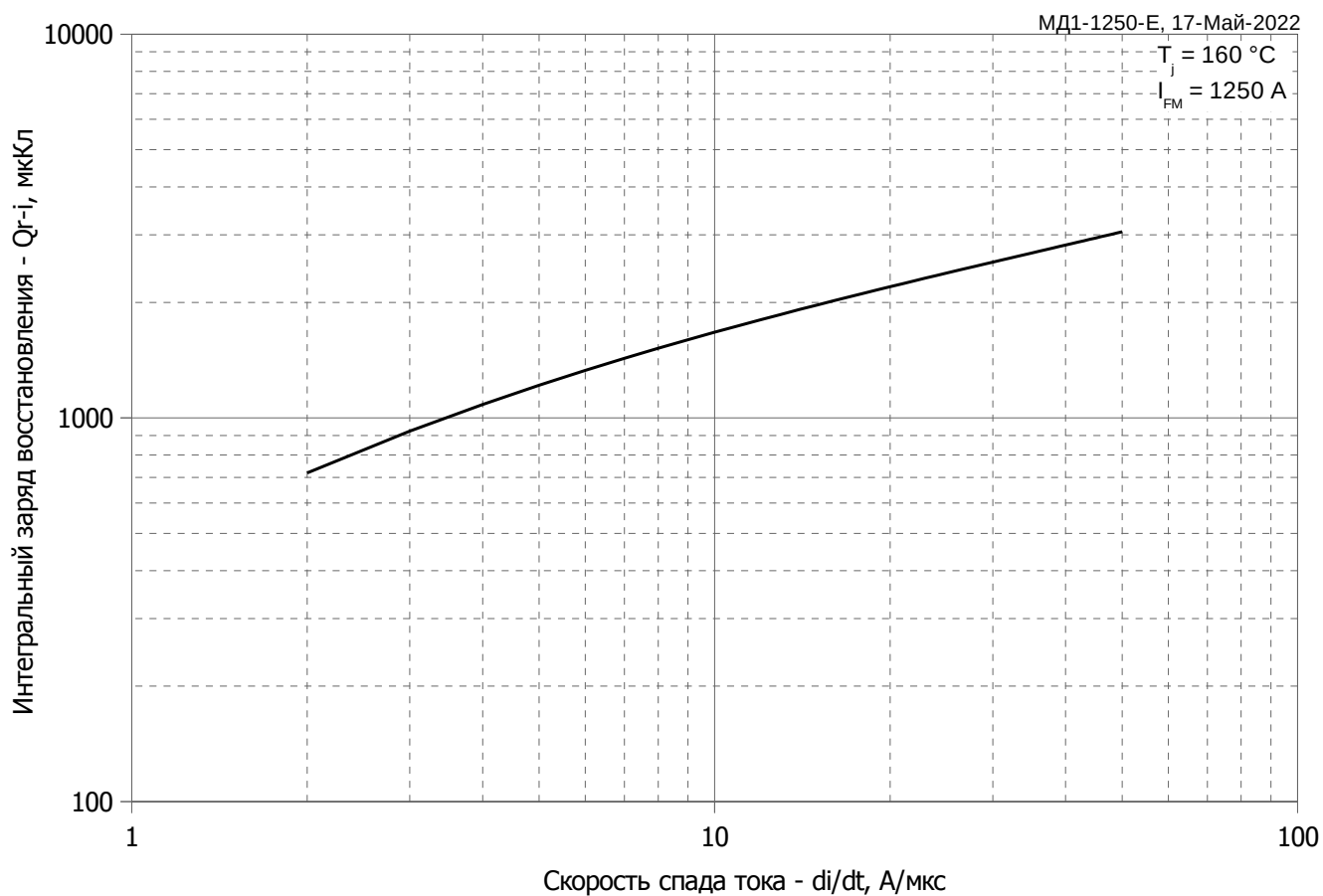


Рис. 3 – Зависимость максимального интегрального заряда восстановления Q_{r-i} от скорости спада прямого тока di_R/dt

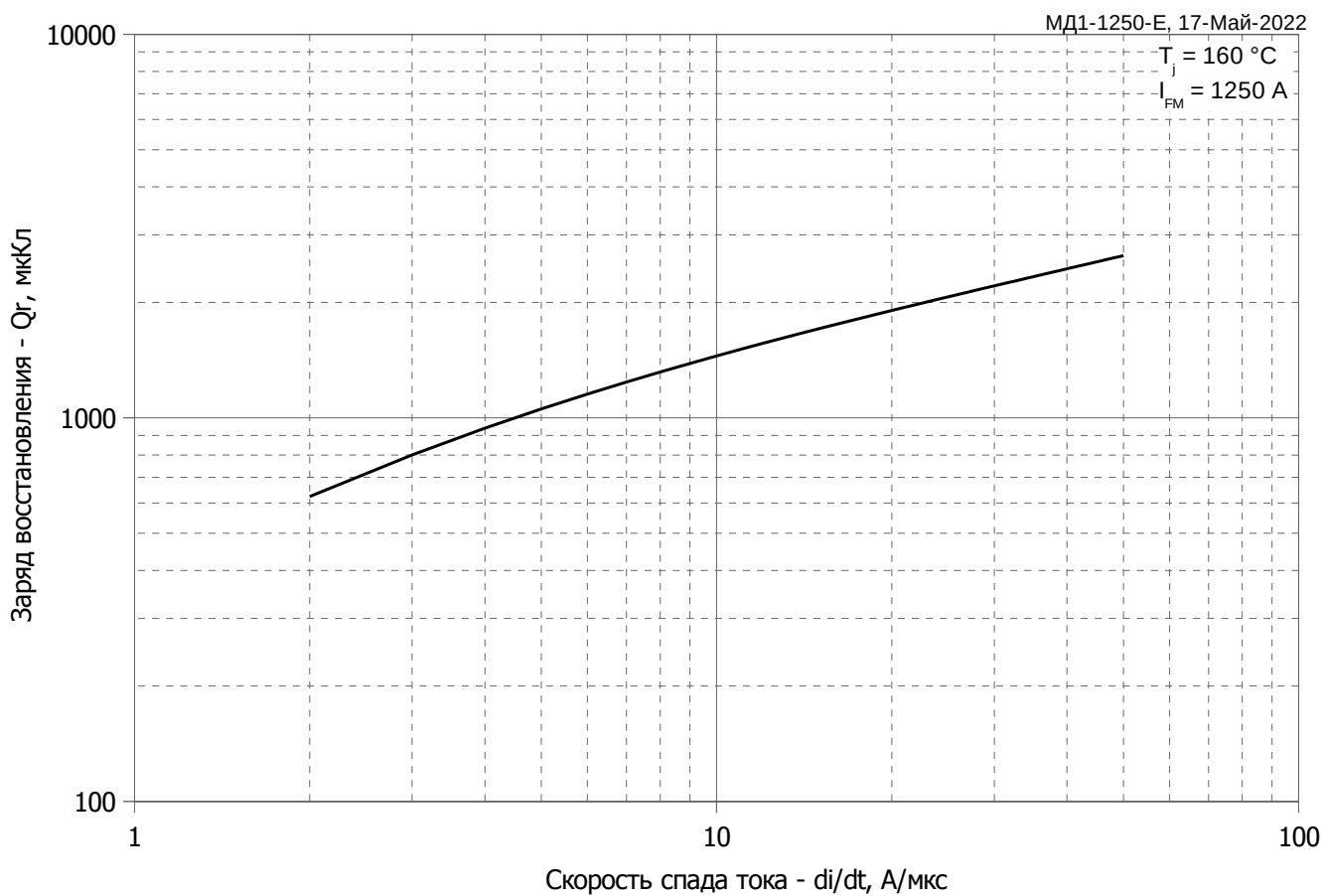


Рис. 4 – Зависимость максимального заряда восстановления Q_r от скорости спада прямого тока di_R/dt (по ГОСТ 24461, хорда 25%)

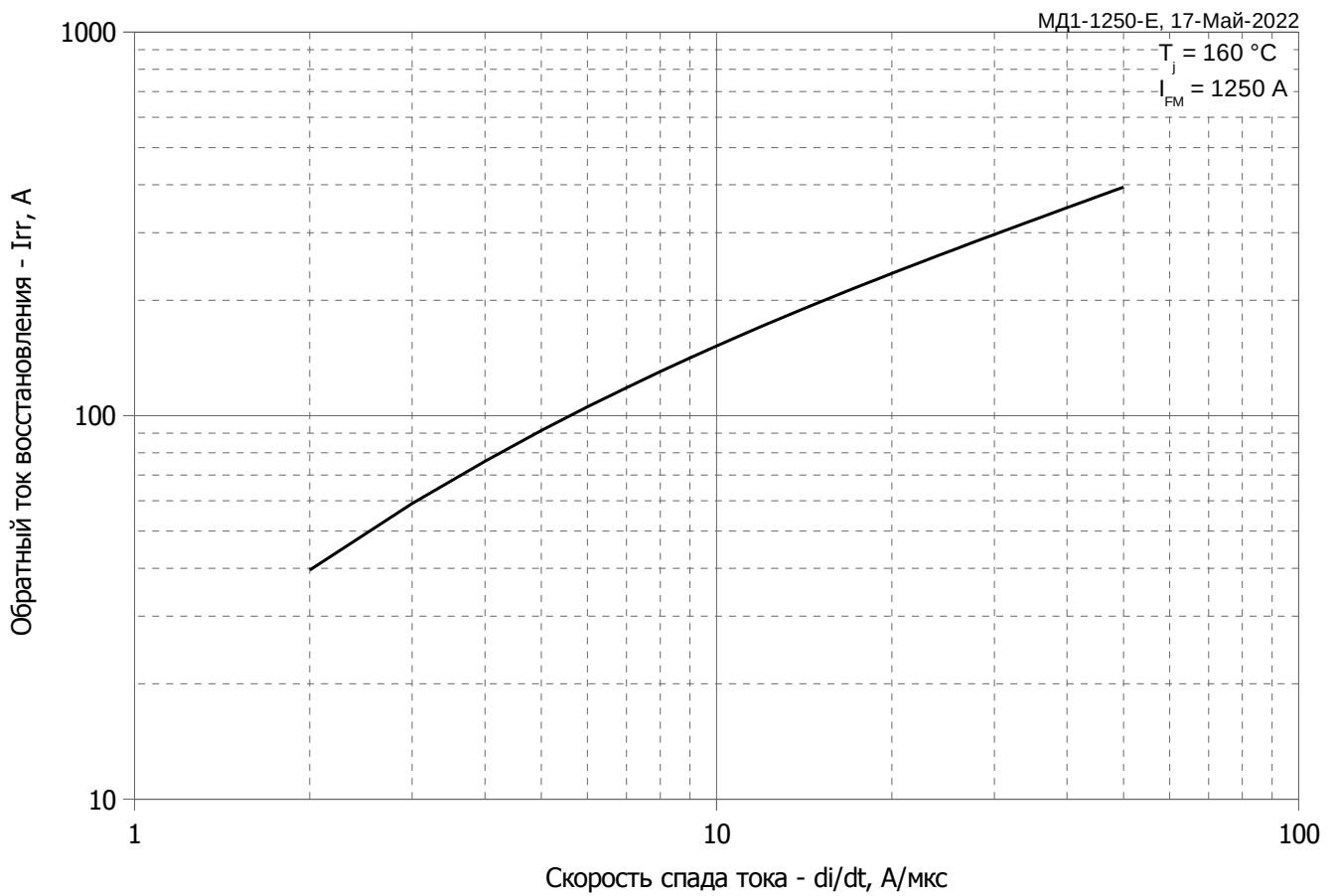


Рис. 5 – Зависимость максимального обратного тока восстановления $I_{гр}$ от скорости спада прямого тока di_R/dt

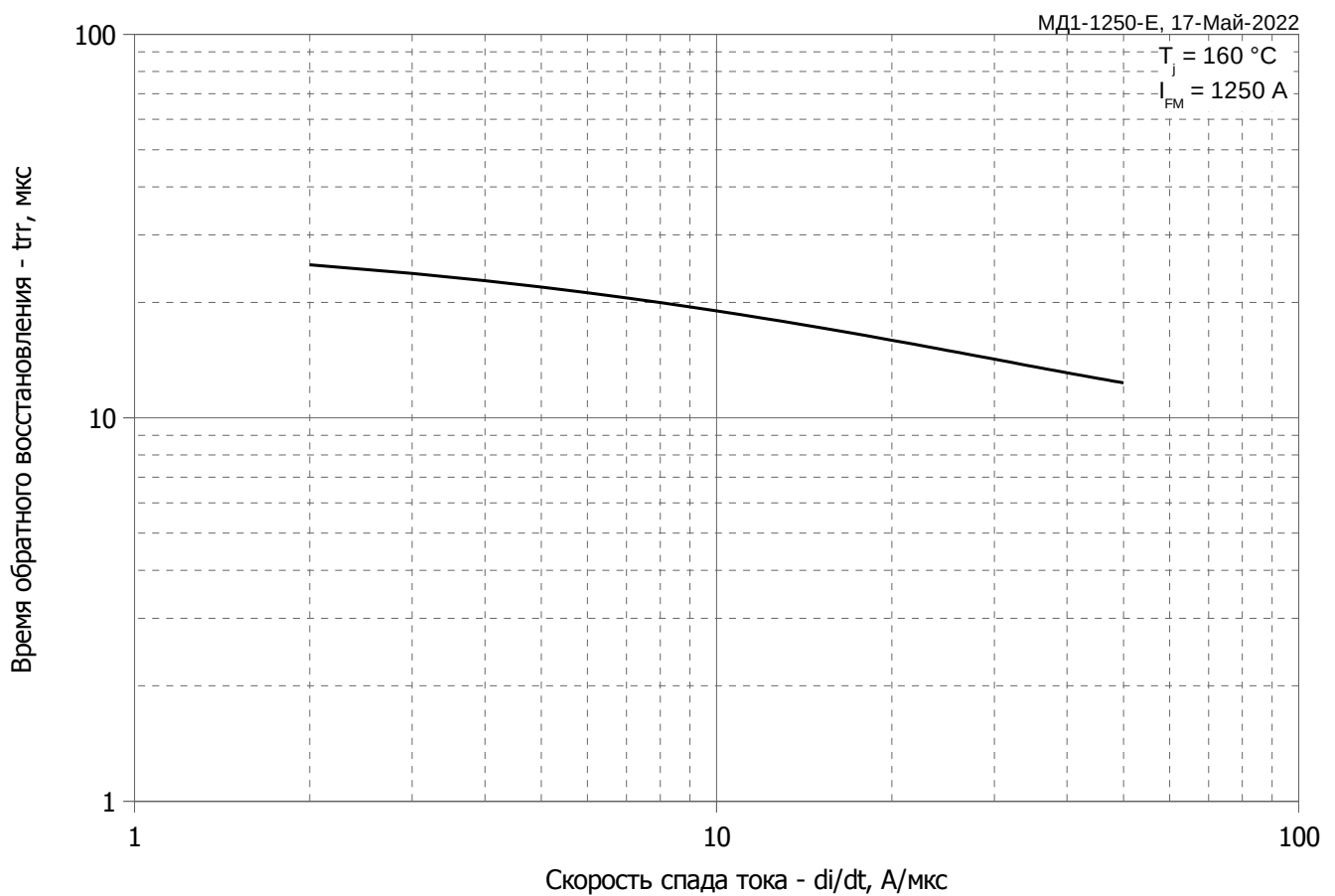


Рис. 6 – Зависимость максимального времени обратного восстановления $t_{гр}$ от скорости спада прямого тока di_R/dt (по ГОСТ 24461, хорда 25%)

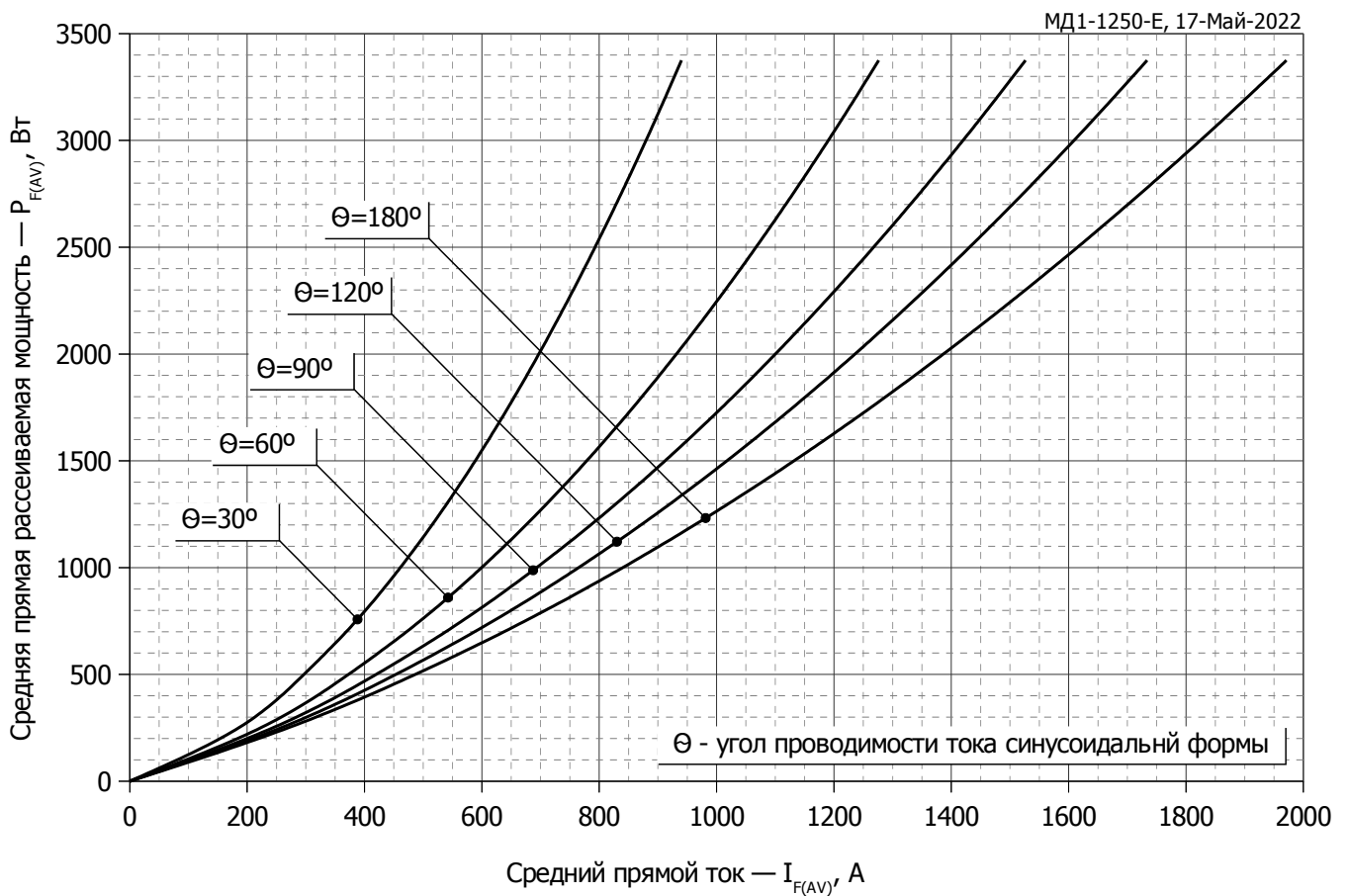


Рис. 7 - Зависимость потерь мощности P_{FAV} от среднего прямого тока I_{FAV} синусоидальной формы при различных углах проводимости ($f=50$ Гц)

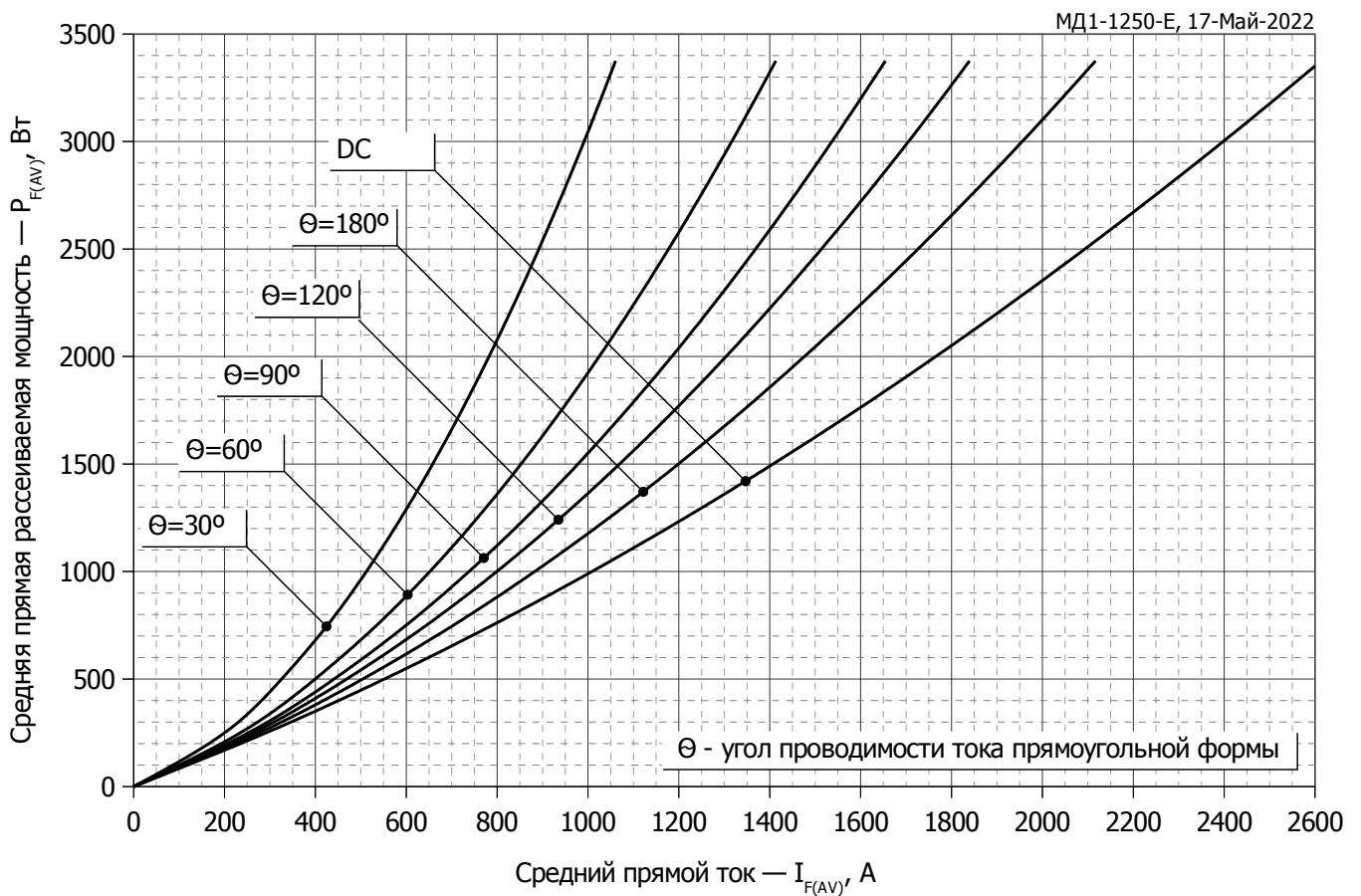


Рис. 8 – Зависимость потерь мощности P_{FAV} от среднего прямого тока I_{FAV} прямоугольной формы при различных углах проводимости ($f=50$ Гц)

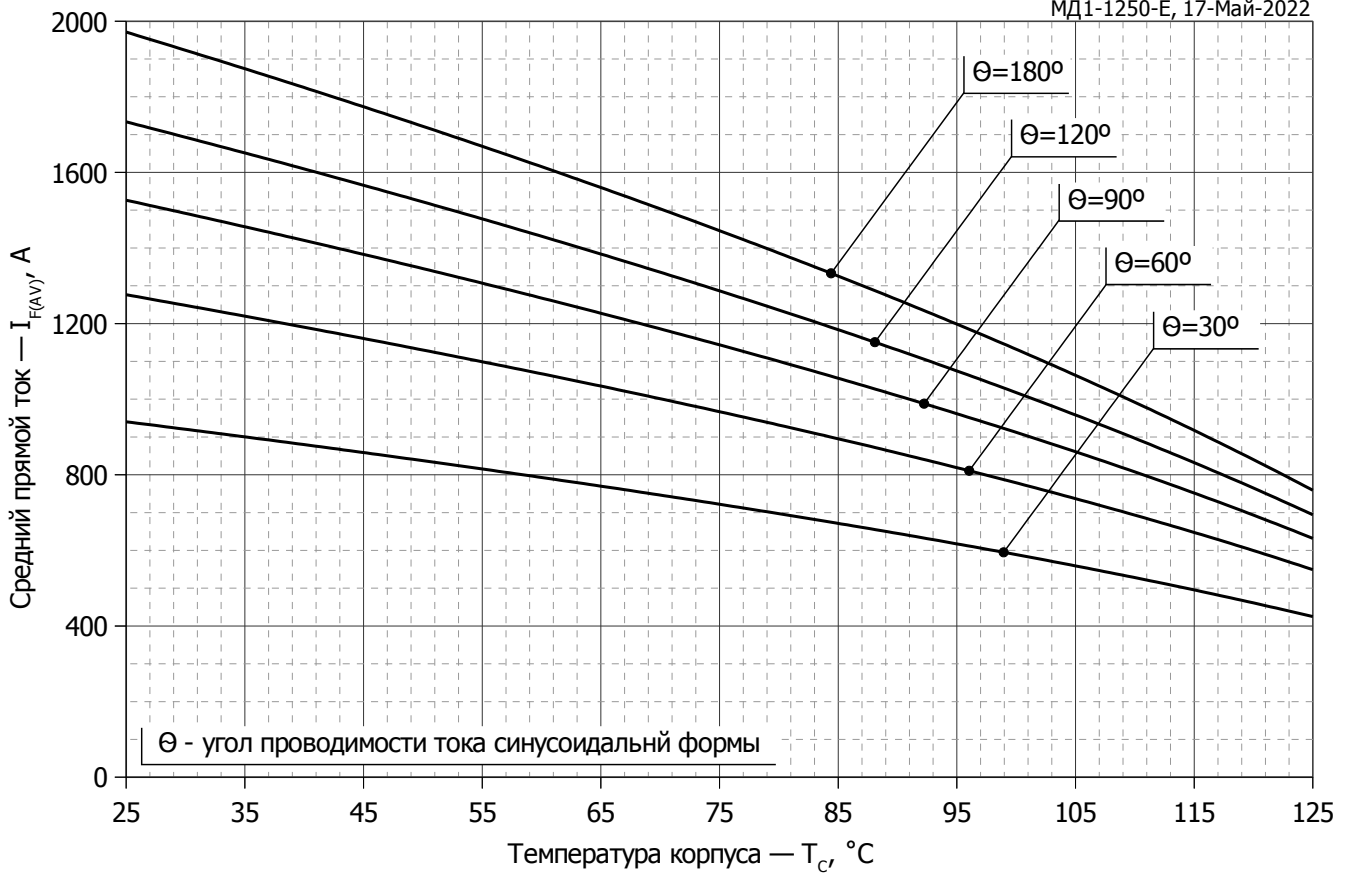


Рис. 9 – Зависимость среднего прямого тока I_{FAV} от температуры корпуса T_c для синусоидальной формы тока при различных углах проводимости ($f=50$ Гц)

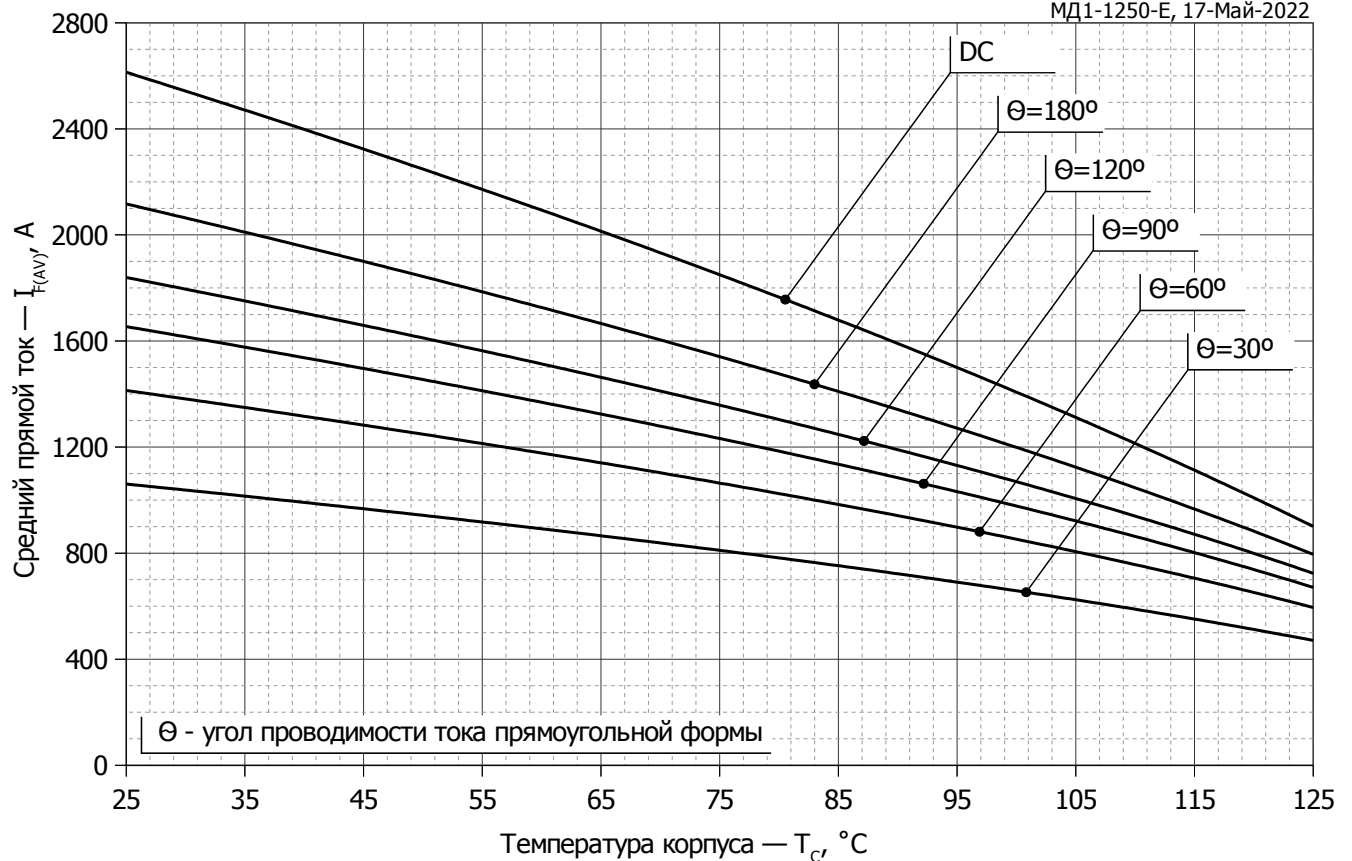


Рис. 10 - Зависимость среднего прямого тока I_{FAV} от температуры корпуса T_c для прямоугольной формы тока при различных углах проводимости ($f=50$ Гц)

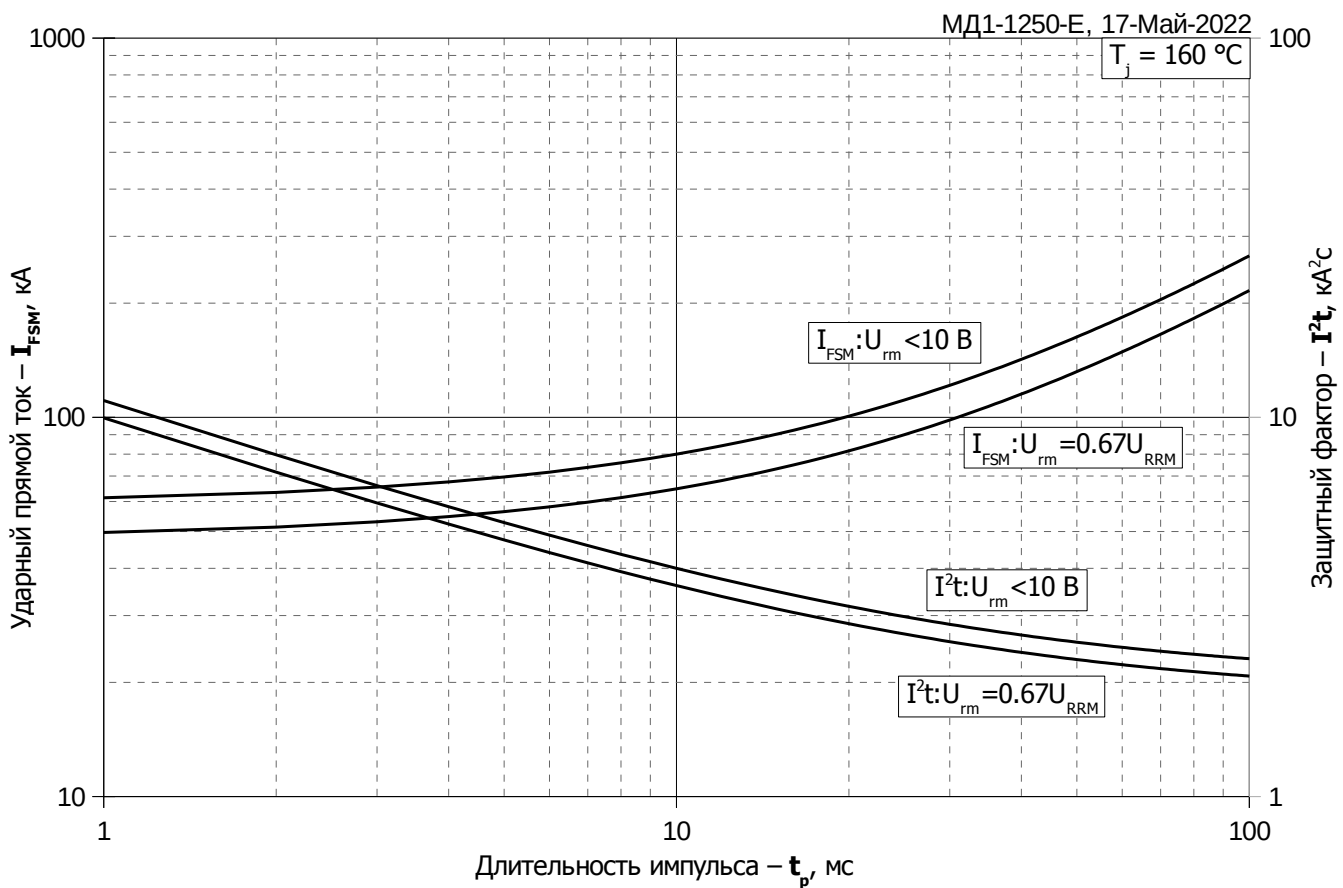


Рис. 11 – Зависимость максимальной амплитуды ударного прямого тока I_{FSM} и защитного фактора I^2t от длительности импульса t_p

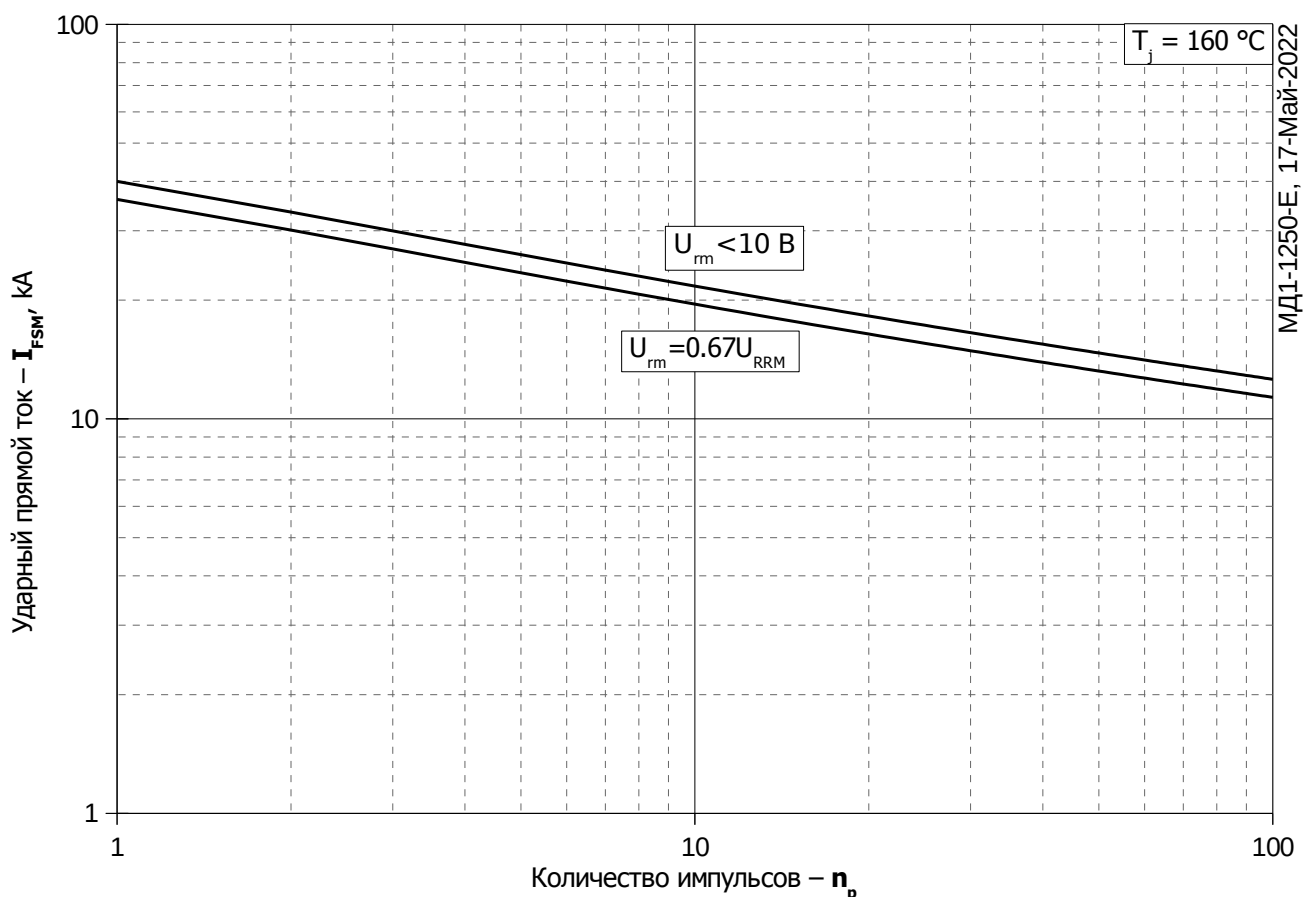


Рис. 12 – Зависимость максимальной амплитуды ударного прямого тока I_{FSM} от количества импульсов n_p